

# カイラル動力学に基づく $\Lambda(1405)$ の構造



兵藤 哲雄

東京工業大学 理工学研究科



## カイラル動力学

- ・ ハドロン物理におけるカイラル対称性
- ・ 低エネルギー定理とハドロン相互作用
- ・ S行列のユニタリー性と散乱振幅



## $\bar{K}N$ 散乱と $\Lambda(1405)$ 共鳴



## $\Lambda(1405)$ 共鳴の構造

- ・ 動力的状態かCDD極（クォーク起源）か？
- ・ カラー数 $N_c$ 依存性とクォーク構造
- ・ 電磁氣的性質と内部構造



## まとめ

## カイラル対称性

カイラル対称性：無質量フェルミオンの対称性

$$\mathcal{L} = \bar{q}(i\partial - m)q$$

射影演算子と右巻き、左巻きフェルミオン

$$P_L = \frac{1}{2}(1 - \gamma_5), \quad P_R = \frac{1}{2}(1 + \gamma_5), \quad q_L \equiv P_L q, \quad q_R \equiv P_R q$$

ラグランジアンの右巻き、左巻き成分への分解

$$\mathcal{L} = \bar{q}_L i\partial q_L + \bar{q}_R i\partial q_R - \bar{q}_L m q_R - \bar{q}_R m q_L$$

$m=0$ のとき右巻き、左巻き場はそれぞれ独立に

大域的対称性（位相変換、フレーバー変換）を持つ：

$$q_R \rightarrow \exp\left\{i \sum_{a=0}^{N_F} t^a \theta_R^a\right\} q_R, \quad q_L \rightarrow \exp\left\{i \sum_{a=0}^{N_F} t^a \theta_L^a\right\} q_L$$

$$G = U(N_F)_R \otimes U(N_F)_L$$

$$= U(1)_V \otimes U(1)_A \otimes SU(N_F)_R \otimes SU(N_F)_L \quad \text{カイラル対称性}$$

## QCDとカイラル対称性の破れ

QCDでu, d, sクォークが軽い  $\Rightarrow$  クォーク質量が零の極限で  
ラグランジアンは3フレーバーのカイラル対称性を持つ

$$G = SU(3)_R \otimes SU(3)_L$$

カイラル対称性は2通りに破れている：

- 自発的な破れ
- クォーク質量による明白な破れ（小さいので摂動で扱う）

カイラル対称性の自発的な破れ：ラグランジアンの対称性が  
真空によって破られている（c.f.ワインボトル型ポテンシャル）

$$\langle 0 | \bar{q}q | 0 \rangle = \langle 0 | \bar{q}_L q_R + \bar{q}_R q_L | 0 \rangle = v \neq 0$$

凝縮はカイラル不変でない（u,dに対し  $-(250 \text{ MeV})^3$  程度）

$$SU(3)_R \otimes SU(3)_L \rightarrow SU(3)_V$$

フレーバー対称性

# ハドロン物理におけるカイラル対称性の破れ

破れているのになぜ重要なのか？

カイラル対称性の自発的破れの帰結（ハドロン物理）：

- **Nambu-Goldstone (NG) ボソンの出現**

$$m_\pi \sim 140 \text{ MeV}$$

- **ハドロン質量の生成**

$$M_p \sim 1 \text{ GeV} \sim 3M_q, \quad M_q \sim 300 \text{ MeV} \quad v.s. \quad m_q \sim 3-7 \text{ MeV}$$

- **ハドロンとNGボソンの相互作用を規定**

低エネルギー定理  $\leftarrow$  カレント代数の方法

体系的な低エネルギー展開：カイラル摂動論（ChPT）

## カイラル対称性とその破れ

$$SU(3)_R \otimes SU(3)_L \rightarrow SU(3)_V$$

基礎理論であるQCD  $\Leftrightarrow$  観測される多様なハドロン現象

# s波の低エネルギー相互作用

## NGボソン(Ad)-標的ハドロン(T)散乱に対する低エネルギー定理

$$\alpha \left[ \begin{array}{c} \text{Ad}(q) \\ T(p) \end{array} \right] = \frac{1}{f^2} \frac{p \cdot q}{2M_T} \langle \mathbf{F}_T \cdot \mathbf{F}_{\text{Ad}} \rangle_\alpha + \mathcal{O} \left( \left( \frac{m}{M_T} \right)^2 \right)$$

## s波へ射影：Weinberg-Tomozawa項

Y. Tomozawa, *Nuovo Cim.* 46A, 707 (1966); S. Weinberg, *Phys. Rev. Lett.* 17, 616 (1966)

$$V_{ij} = -\frac{C_{ij}}{4f^2} (\omega_i + \omega_j) \quad \pi \text{のエネルギー}$$

$\pi$ 崩壊定数 ( $g_\pi=1$ )

$$C_{ij} = \sum_\alpha C_{\alpha,T} \left( \begin{array}{cc|c} 8 & T & \alpha \\ I_{M_i}, Y_{M_i} & I_{T_i}, Y_{T_i} & I, Y \end{array} \right) \left( \begin{array}{cc|c} 8 & T & \alpha \\ I_{M_j}, Y_{M_j} & I_{T_j}, Y_{T_j} & I, Y \end{array} \right)$$

$$C_{\alpha,T} = \langle 2\mathbf{F}_T \cdot \mathbf{F}_{\text{Ad}} \rangle = C_2(T) - C_2(\alpha) + 3$$

標的の群論的性質とフレーバーSU(3)対称性が符号と強さを決定

低エネルギー定理：カイラル摂動論の主要項に対応

# カイラル動力学：概観

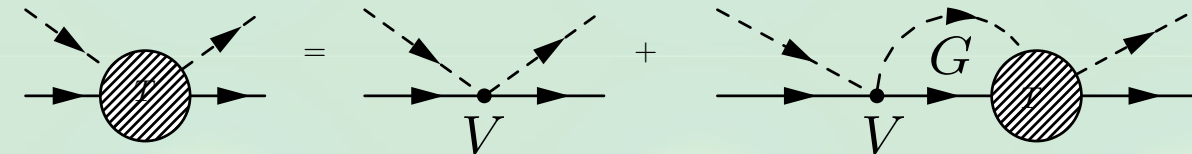
## ハドロン-NGボソン散乱と共鳴状態の記述

### - 相互作用 $\leftrightarrow$ カイラル対称性

Y. Tomozawa, *Nuovo Cim.* 46A, 707 (1966); S. Weinberg, *Phys. Rev. Lett.* 17, 616 (1966)

### - 散乱振幅 $\leftrightarrow$ 多チャンネルでのユニタリー性

R.H. Dalitz, T.C. Wong, G. Rajasekaran, *Phys. Rev.* 153, 1617 (1967)

$$T = \frac{1}{V^{-1} - G}$$


### 摂動 $\rightarrow$ 散乱方程式へ：相互作用が強い、共鳴が存在

N. Kaiser, P. B. Siegel, W. Weise, *Nucl. Phys.* A594, 325 (1995);

E. Oset, A. Ramos, *Nucl. Phys.* A635, 99 (1998);

J. A. Oller, U. G. Meissner, *Phys. Lett.* B500, 263 (2001);

M.F.M. Lutz, E. E. Kolomeitsev, *Nucl. Phys.* A700, 193 (2002); .... many others

メソン-バリオン散乱、メソン-メソン散乱、重いクォークを含む  
セクターでの散乱と共鳴状態の性質を非常に良く記述する

# ユニタリー性と散乱振幅

ユニタリー性：光学定理

$$\text{Im} [T^{-1}(s)] = \frac{\rho(s)}{2} \quad \text{2体散乱の位相体積}$$

分散関係を使ってユニタリー性と無矛盾な振幅の一般形を書く

$$T^{-1}(\sqrt{s}) = \sum_i \frac{R_i}{\sqrt{s} - W_i} + \tilde{a}(s_0) + \frac{s - s_0}{2\pi} \int_{s_+}^{\infty} ds' \frac{\rho(s')}{(s' - s)(s' - s_0)}$$

$R_i, W_i, a$  は散乱理論では決まらない ← カイラル相互作用

分散積分 = ループ関数  $G$  とみなし、残りの寄与を  $V^{-1}$  とする。

$$T(\sqrt{s}) = \frac{1}{V^{-1}(\sqrt{s}) - G(\sqrt{s}; a)}$$

散乱振幅

$V$  の決定：T を低エネルギー展開してカイラル摂動論と比較

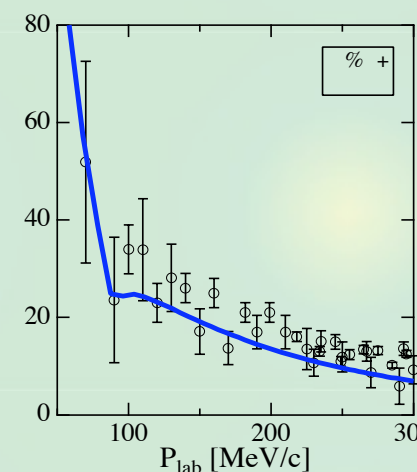
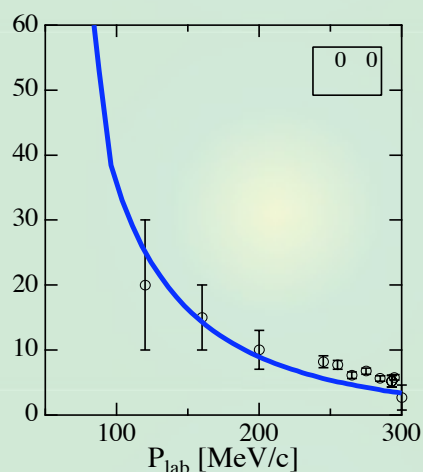
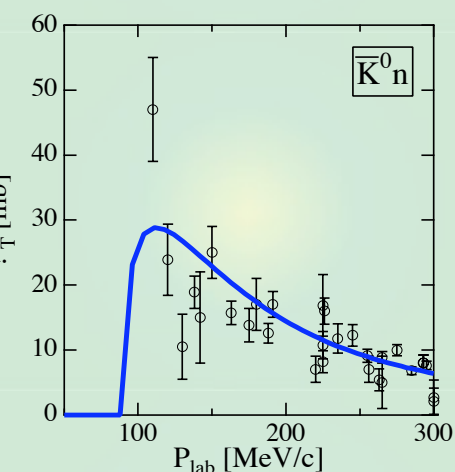
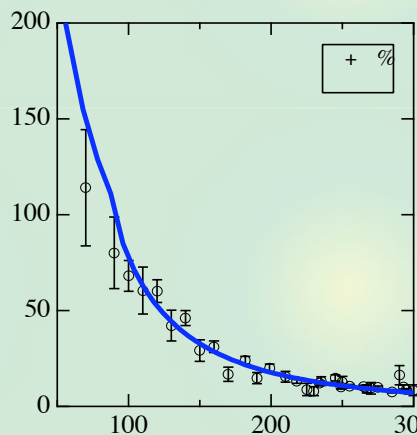
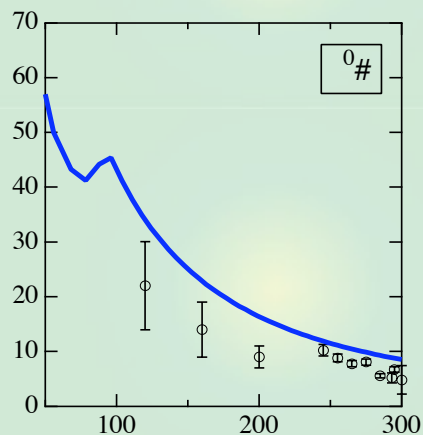
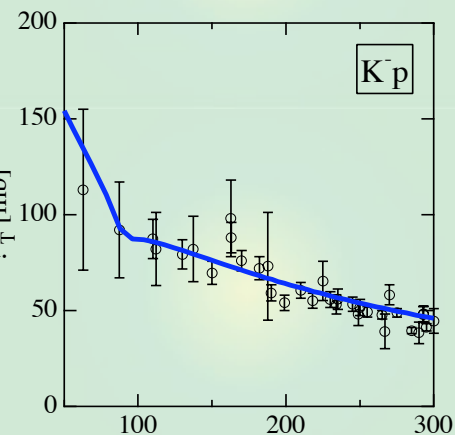
$$T^{(1)} = V^{(1)}, \quad T^{(2)} = V^{(2)}, \quad T^{(3)} = V^{(3)} - V^{(1)}GV^{(1)}, \dots$$

カイラル対称性 + ユニタリー性と無矛盾な散乱振幅 T



# $\bar{K}N$ 散乱：実験データとの比較

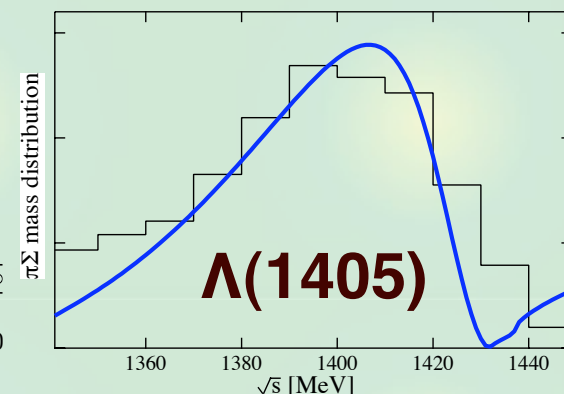
## K-p散乱の全断面積



## 閾値分岐比

	$\gamma$	$R_c$	$R_n$
exp.	2.36	0.664	0.189
theo.	1.80	0.624	0.225

## $\pi\Sigma$ 質量分布



T. Hyodo, S.I. Nam, D. Jido, A. Hosaka, Phys. Rev. C68, 018201 (2003);

T. Hyodo, S.I. Nam, D. Jido, A. Hosaka, Prog. Theor. Phys. 112, 73 (2004)

$\bar{K}N$ 閾値の上下のエネルギーで実験と良い一致

# $\bar{K}N$ 散乱と $\Lambda(1405)$

$\Lambda(1405) : J^P = 1/2^-, I = 0$

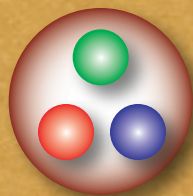
(PDG)

質量 :  $1406.5 \pm 4.0$  MeV、崩壊幅 :  $50 \pm 2$  MeV

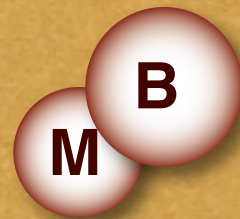
崩壊モード :  $\Lambda(1405) \rightarrow (\pi\Sigma)_{I=0}$  **100%**

構成的クォーク模型

p波励起  $\sim 1600$  MeV?



N. Isgur, G. Karl, PRD18, 4187 (1978)



チャンネル結合

散乱方程式

R.H. Dalitz, T.C. Wong,  
G. Rajasekaran, PR153, 1617 (1967)

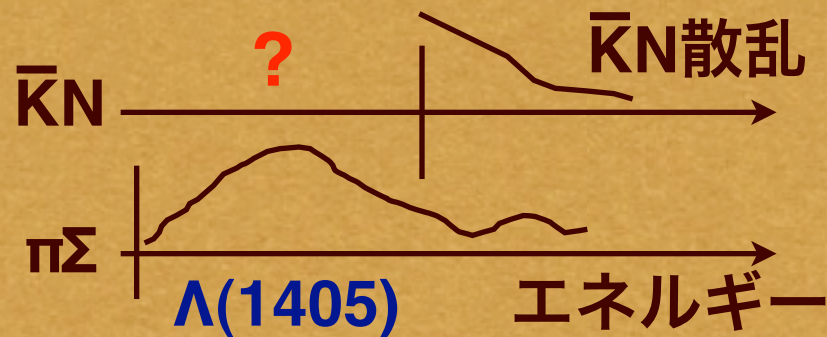
閾値以下の $\bar{K}N$ 相互作用

T. Hyodo, W. Weise, PRC 77, 035204 (2008)

-->  $\bar{K}N$ ポテンシャル、 $\bar{K}$ 原子核

A. Dote, T. Hyodo, W. Weise,  
NPA804, 197 (2008); PRC 79, 014003 (2009);

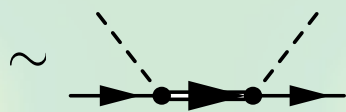
Talk by 池田さん (今日の午後)



# 1つの共鳴に2つの極

複素エネルギー平面上の散乱振幅の極：共鳴状態

$$T_{ij}(\sqrt{s}) \sim \frac{g_i g_j}{\sqrt{s} - M_R + i\Gamma_R/2}$$



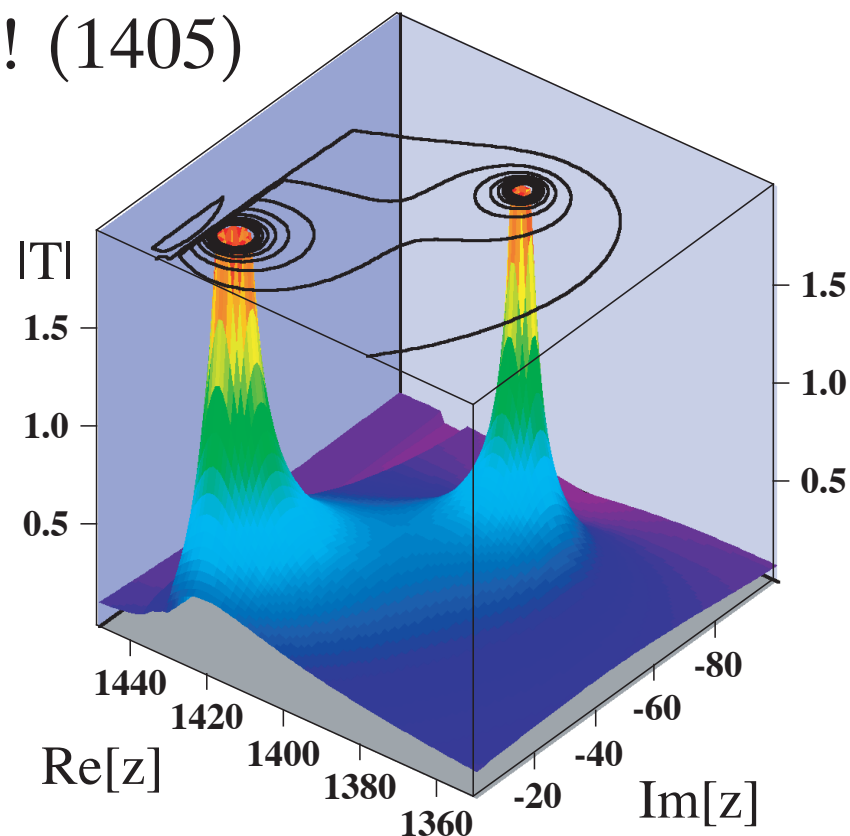
実部	質量
虚部	崩壊幅/2
留数	結合定数

同じ量子数の2つの極が生成

物理的な“ $\Lambda(1405)$ ”が2つの

状態の重ね合わせである可能性

! (1405)



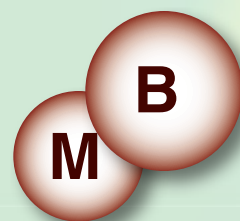
D. Jido, J.A. Oller, E. Oset, A. Ramos, U.G. Meissner, Nucl. Phys. A 723, 205 (2003);

T. Hyodo, W. Weise, Phys. Rev. C 77, 035204 (2008)

# 動的状態とCDD極の寄与

相互作用の情報（ポテンシャル）と散乱の実験データ（断面積など）がある場合の2体散乱での共鳴状態の分類

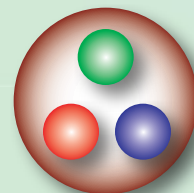
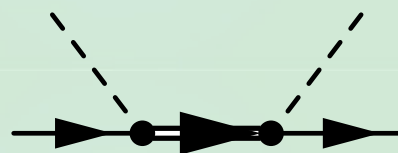
(a) 動的な状態：2体の分子的状态、準束縛状态、



... 今の場合にはメソン-バリオンの分子的状态

(b) CDD極の寄与：独立粒子、散乱以外の動力学で生成、

L. Castillejo, R.H. Dalitz, F.J. Dyson, Phys. Rev. 101, 453 (1956)



... 今の場合には3クォーク状态など

カイラル動力学での共鳴 -> (a) 動的な状態？

# CDD極の寄与と共鳴の性質

カイラル動力学モデルでの散乱振幅

$$T = \frac{1}{\boxed{V^{-1}} - \boxed{G}} \quad \mathbf{V} : \text{相互作用、} \mathbf{G} : \text{ループ関数}$$

$V$ の中に（のみ）CDD極の寄与が入ることが知られていた。

繰り込みの解析より $G$ にもCDD極の寄与があることを指摘し、

**ループ $G$ からCDD極を排除する「自然な繰り込み」を提案した。**

T. Hyodo, D. Jido, A. Hosaka, Phys. Rev. C78, 025203 (2008)

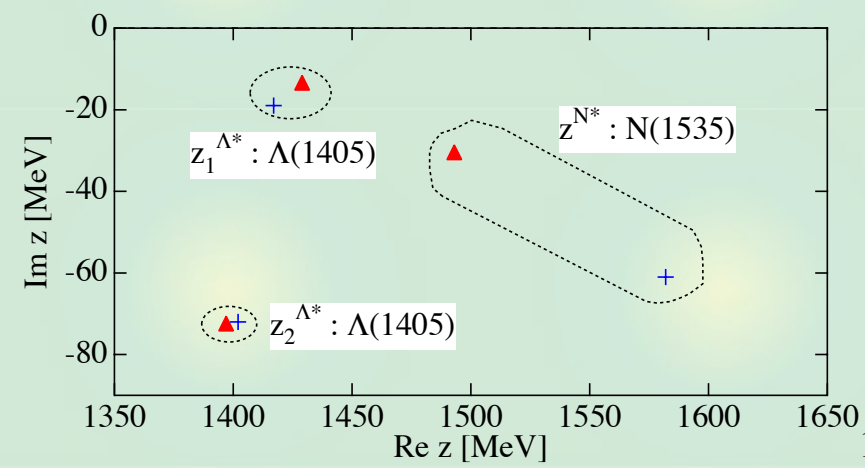
現象論的な振幅とCDD極を完全に排除した振幅を比較

$\bar{K}N$ 散乱の $\Lambda(1405)$ ：ほぼ同じ

--> 動的成分が支配的

$\pi N$ 散乱の $N(1535)$ ：ズレが生じる

--> 動的 + CDD極



## $N_c$ スケーリングとクォーク構造

$N_c$  : QCDのカラーの数

ハドロンの有効理論において、クォーク構造の情報を担う

一般的な議論から物理量の $N_c$ 依存性が知られているので、  
モデルに $N_c$ 依存性を導入し共鳴の性質の応答を調べる。

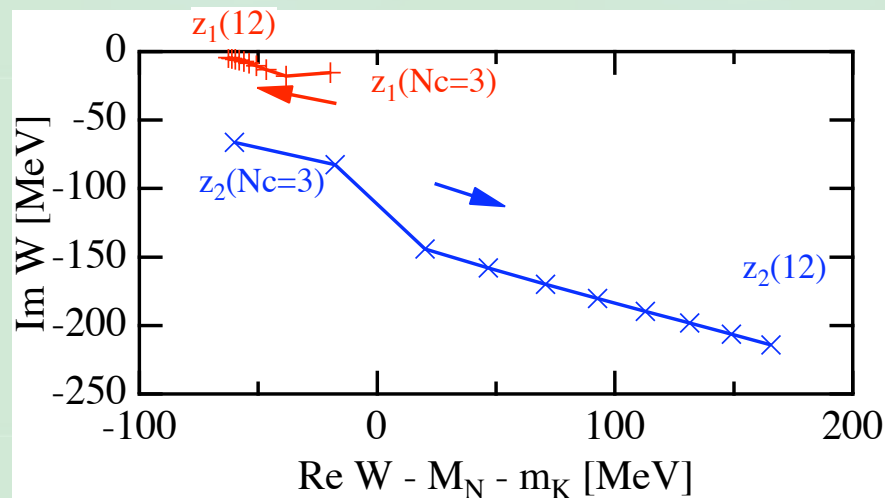
J.R. Pelaez, Phys. Rev. Lett. 92, 102001 (2004)

qqqバリオンの $N_c$ スケーリング

$$M_R \sim \mathcal{O}(N_c), \quad \Gamma_R \sim \mathcal{O}(1)$$

カイラル動力学の結果

$$\Gamma_R \neq \mathcal{O}(1)$$



-->  $\Lambda(1405)$ は非-qqq成分が支配的。有力な候補として動的状態

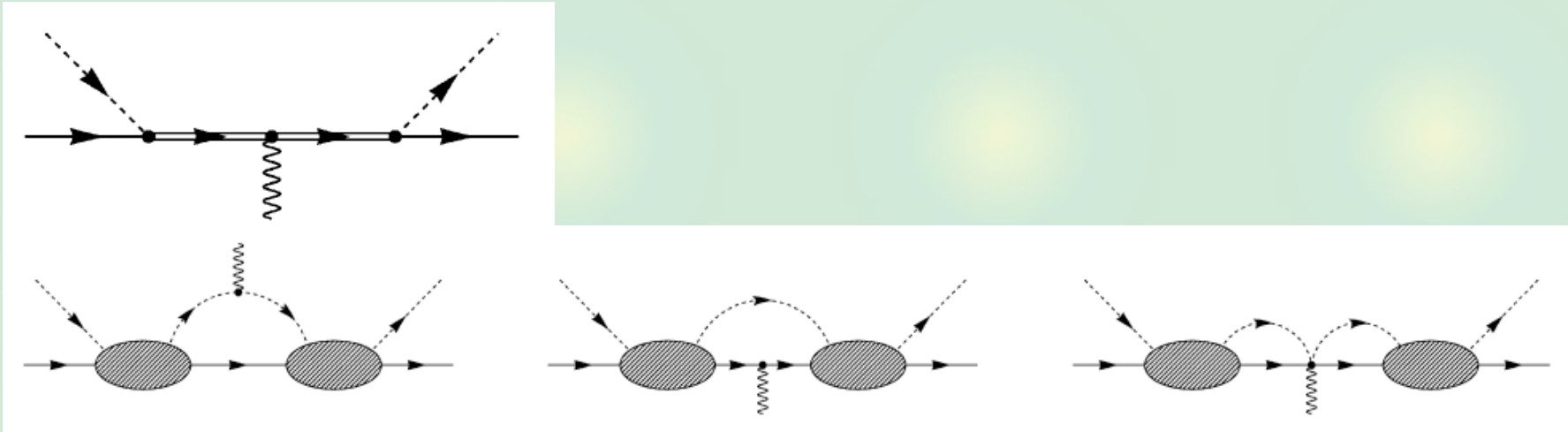
T. Hyodo, D. Jido, L. Roca, Phys. Rev. D77, 056010 (2008);

L. Roca, T. Hyodo, D. Jido, Nucl. Phys. A809, 65-87 (2008)

## 電磁氣的性質の測定

電磁氣的な性質：内部構造を反映

← 光子を結合させた振幅を評価し、形状因子などを引き出す



平均 2 乗半径の結果

$$|\langle r^2 \rangle_E| = 0.33 \text{ [fm}^2\text{]}$$

$\Lambda(1405)$ の大きな電磁氣的サイズ c.f. 中性子：-0.12 [fm<sup>2</sup>]

--> メソン-バリオン分子的な描像を支持

T. Sekihara, T. Hyodo, D. Jido, Phys. Lett. B669, 133-138 (2008);

T. Sekihara, T. Hyodo, D. Jido, in preparation

## まとめ：カイラル動力学

QCDのカイラル対称性と自発的破れの重要性と、S行列のユニタリー性を考慮したカイラル動力学の枠組みを解説した。

📌 カイラル対称性を通じて、観測されるハドロ現象を、基礎理論であるQCDから理解することができる。

📌 カイラル動力学：  
カイラル相互作用 + チャンネル結合ユニタリー条件  
=> メソン-バリオン散乱とバリオン共鳴の統一的記述  
e.g.  $\bar{K}N$ 散乱における $\Lambda(1405)$ 共鳴

📌 最近の発展：散乱にあらわれる共鳴状態の内部構造の解明が可能になりつつある。



## まとめ： $\Lambda(1405)$ 共鳴の構造

カイラル動力学に基づく3種の解析で $\Lambda(1405)$ の構造を調べた。

📌 動的状態かCDD極の寄与か？

=> メソン-バリオン成分が支配的 [T. Hyodo, D. Jido, A. Hosaka](#)

📌  $N_c$ スケーリングの研究

=>  $qqq$ 成分はほとんどない [T. Hyodo, D. Jido, L. Roca](#)

📌 電磁氣的性質の研究

=> 電磁氣的なサイズは大きい [T. Sekihara, T. Hyodo, D. Jido](#)

📌 3種の独立な解析が矛盾なく $\Lambda(1405)$ の  
メソン-バリオン分子的な構造を示唆している。

